



Compliance Erklärung

Sponsoring durch folgende Firmen:

- Samsung Healthcare
- MSD SHARP & DOHME GMBH
- LifeCodexx AG
- B. Braun Sharing Expertise
- Milupa







Dopplersonographie im I. Trimenon

Wann?

11+0 bis 13+6 SSW

Wozu?

- Präeklampsie-Screening
- Aneuploidie-Screening und frühe Fehlbildungsdiagnostik

Was?

- Aa. uterinae
- Ductus venosus
- Frühe Echokardiographie





Dopplersonographie im I. Trimenon

Ursache!

1. und frühes 2. Trimenon

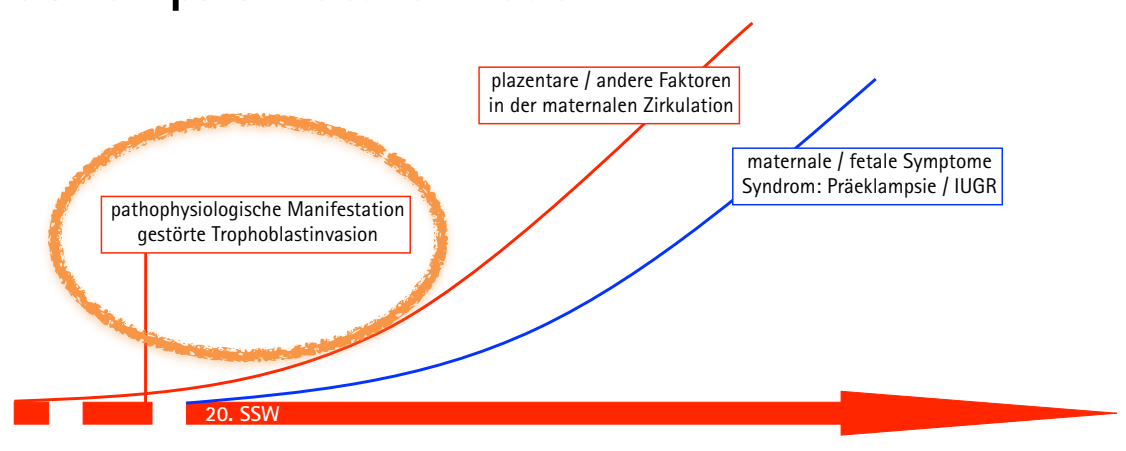
Folgen!

Spätes 2. und 3. Trimenon

- Präeklampsie
- IUGR
- Frühgeburt
- Plazentalösung
- IUFT

Zu diesem Zeitpunkt kann das Risiko im Frühstadium der Erkrankung identifiziert werden. Die Prävention bietet die Möglichkeit für eine positive Wirkung.

Präeklampsie - Stufenmodell



Aus: Dopplersonographie im I. Trimenon, Dietmar Schlembach, Universitätsfrauenklinik Jena Abteilung für Geburtshilfe



Spätes 1. Trimenon

Physiologie im Rahmen der Plazentation:

Eindringen des extravillösen Trophoblasten in das innere Drittel des Myometriums.

Remodelling (Endothel, glatte Muskulatur der Spiralarterien wird verdrängt und ersetzt).

Spiralarterien verlieren Elastizität (dilatierte und nicht kontraktile Gefäße).

Spiralarterien zeigen keine Reaktion mehr auf vasokonstriktorische Reize.





Spätes 1. Trimenon

Dadurch konstanter und um ein vielfaches vermehrter Blutfluss zum intervillösen Bereich gewährleistet.

Widerstand im uteroplazentaren Gefäßbett nimmt ab.



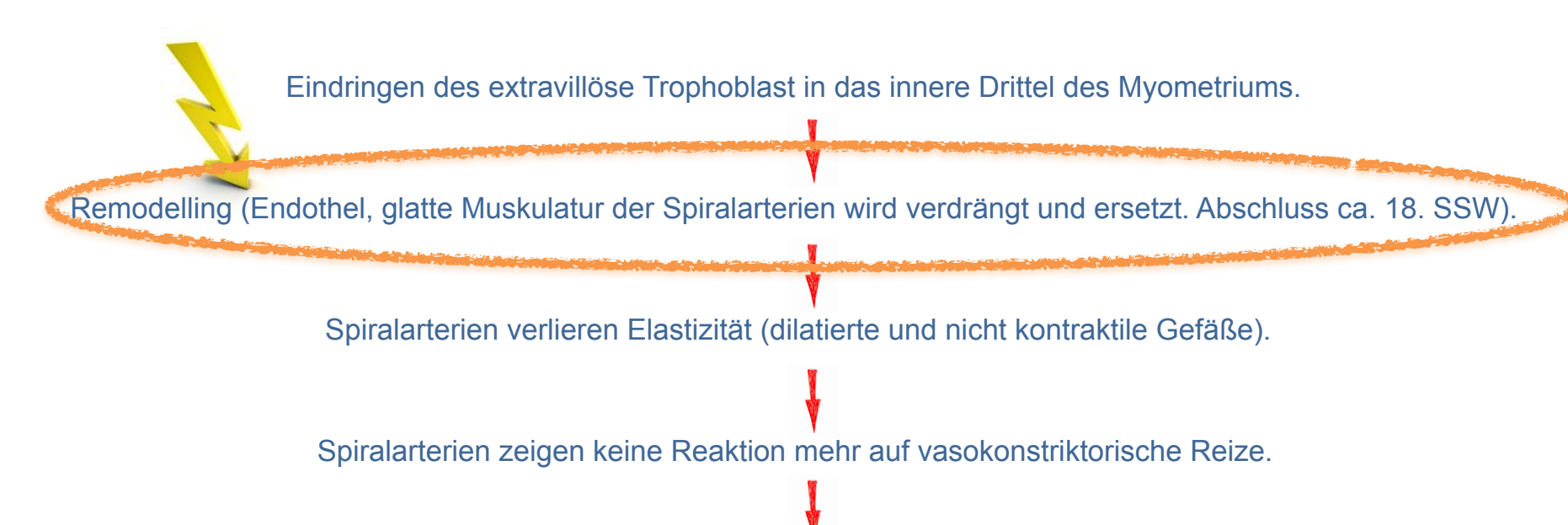
Der Widerstand nimmt kontinuierlich ab. Frühdiastolische Notch verschwindet.





Spätes 1. Trimenon

Störung im Rahmen der Plazentation:







Spätes 1. Trimenon

Schwangerschaften mit Präeklampsie, SIH, vorzeitiger Plazentalösung, Wachstumsretardierung

- signifikant höherer mittlerer PI
- höhere Prävalenz von bilateralen Notches



Tab. 12.1. Resistance-Index (RI) und Pulsatility-Index (PI) der A. uterina 11+0 − 13+6 SSW 5. Perzentile (Pz) 50. Perzentile 95. Perzentile Resistance-Index (RI) 0,53 0,71 0,85 Dugoff (2005) n=1005 0,59 0,81 Pulsatility-Index (PI)
Martin (2001) n=3324 2,35

Verschwinden des Notches

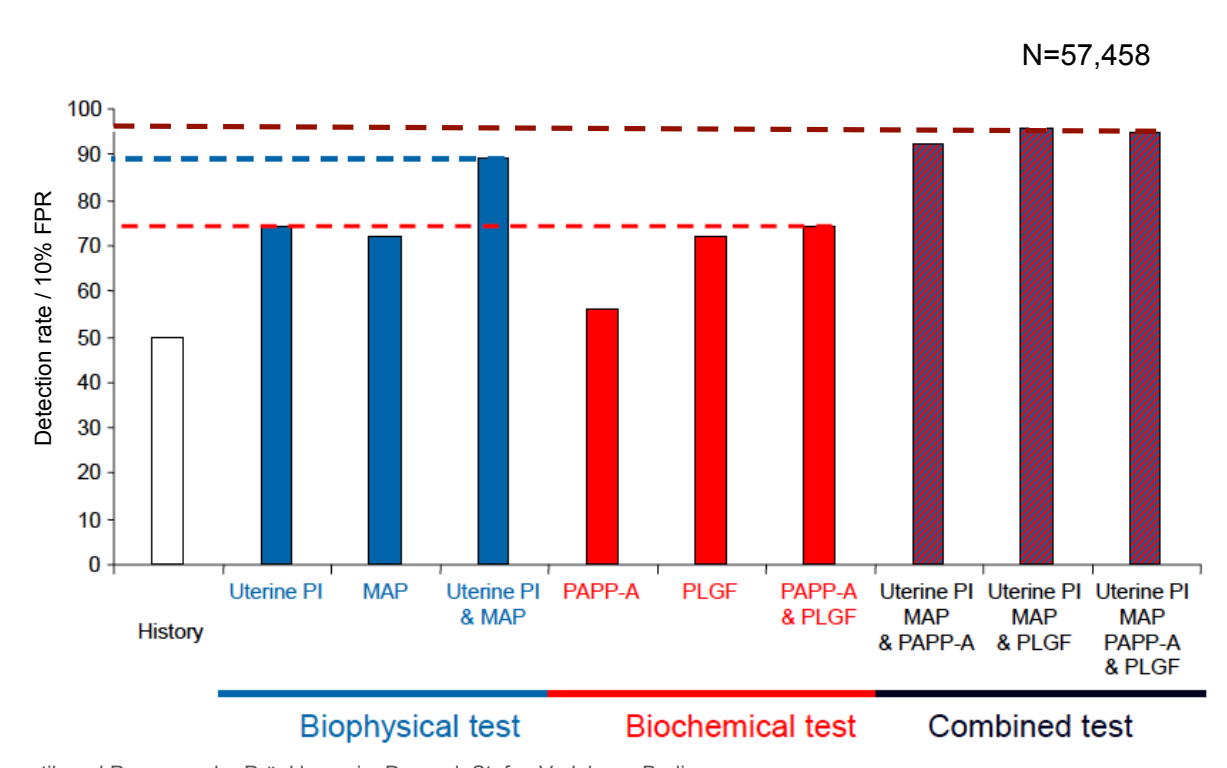
- frühzeitig (<14. SSW)
- verzögert (22.-24. SSW)
- · einseitig
- gar nicht

Aus: Dopplersonographie in der Frühschwangerschaft E. Ostermayer





Prädiktion der Präeklampsie im ersten Trimester



Aus: Prädiktion, Diagnostik und Prognose der Präeklampsie. Dr. med. Stefan Verlohren, Berlin

Poon LC1, Kametas NA, Maiz N, Akolekar R, Nicolaides KH. Hypertension. 2009 May;53(5):812-8. doi: 10.1161/HYPERTENSIONAHA.108.127977. Epub 2009 Mar 9. First-trimester prediction of hypertensive disorders in pregnancy.

Akolekar R, Syngelaki A, Poon L, Wright D, Nicolaides KH. Competing risks model in early screening for preeclampsia by biophysical and biochemical markers. Fetal Diagn Ther 2013;33:8-15





Original Paper

Fetal Diagnosis
Therapy

Fetal Diagn Ther 2013;33:8–15 DOI: 10.1159/000341264 Received: April 25, 2012 Accepted after revision: June 21, 2012 Published online: August 16, 2012

Competing Risks Model in Early Screening for Preeclampsia by Biophysical and Biochemical Markers

Ranjit Akolekar^{b, d} Argyro Syngelaki^{b–d} Leona Poon^b David Wright^a Kypros H. Nicolaides^{b, c}

^aSchool of Computing and Mathematics, Plymouth University, Plymouth, ^bHarris Birthright Research Centre of Fetal Medicine, King's College Hospital, and ^cDepartment of Fetal Medicine, University College Hospital, London, and ^dDepartment of Fetal Medicine, Medway Maritime Hospital, Gillingham, UK

Screening by maternal characteristics, biophysical and biochemical markers detected 96% of cases of PE requiring delivery before 34 weeks and 54% of all cases of PE at a fixed false-positive rate of 10%.

Sensitivität 96%, 10% Falsch-Positiv-Rate = 90% Spezifität



Negativer prädiktiver Wert

97,5-99,8%

Oliveira N, Magder LS, Blitzer MG, Baschat AA. First-trimester prediction of pre-eclampsia: external validity of algorithms in a prospectively enrolled cohort. *Ultrasound Obstet Gynecol* 2014; **44**: 279 – 285.









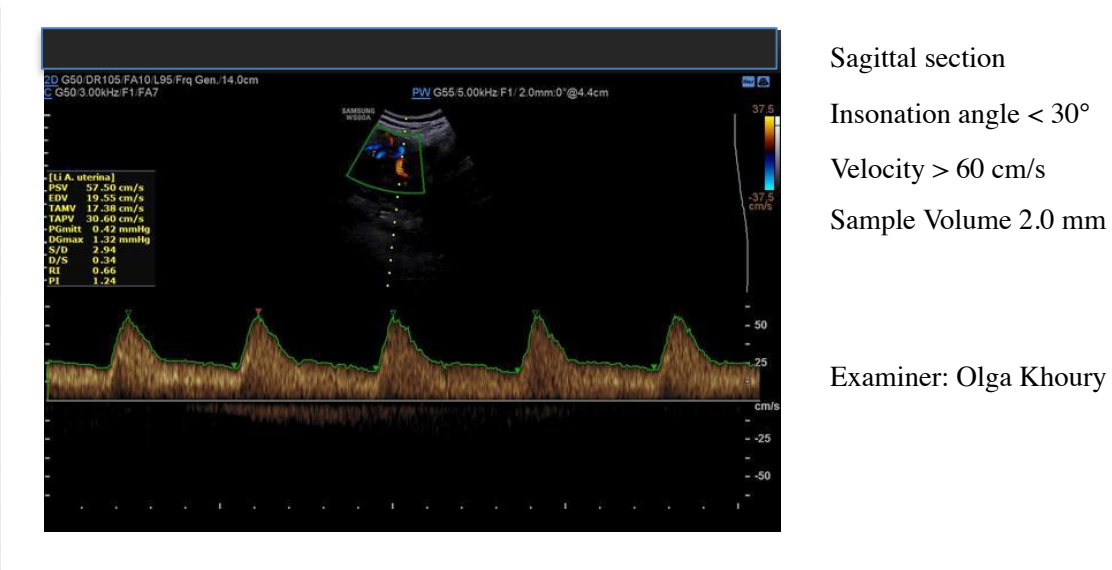
Assessment of risk for preeclampsia (PE)

This application allows estimation of risks of early-PE (delivery at <32 weeks gestation), preterm-PE (<37 weeks) and term-PE (≥37 weeks) by a combination of maternal factors and results of various biophysical and biochemical measurements made at different stages in pregnancy.

Risk calculation is provided for the gestational age blocks of 11⁺⁰ to 14⁺¹, 19⁺⁰ to 24⁺⁶, 30⁺⁰ to 34⁺⁶ and 35⁺⁰ to 37⁺⁶ weeks. Please note that when using biophysical and biochemical markers the measurements should be obtained within the same gestational

Naternal factors			
Maternal characteristics Date of birth Height Weight Racial origin Conception method Smoking during pregnancy Mother of the patient had PE Pregnancy dating (select on Fetal crown-rump length (Fetal head circumference Manual (any gestation) Gestational age	O Yes O No O Yes O No e of the methods be	in os v	Medical history ☐ Chronic hypertension ☐ Diabetes type II ☐ Systemic lupus erythematosus ☐ Anti-phospholipiid syndrome Obsetric history ○ Nulliparous (no previous pregnancies ≥24 weeks) ○ Parous (at least one pregnancy ≥24 weeks)
D-11 - 6	del company and		
This application allows calcubiomarkers. Biophysical and 19*0 to 24*6, 30*0 to 34*6, 35*0	biochemical marker to 37 ⁺⁶ weeks).		
This application allows calcubiomarkers. Biophysical and 19°0 to 24°6, 30°0 to 34°6, 35°0 iophysical measurem	ulation of risks for P biochemical marker to 37 ⁺⁶ weeks).	s should be ob	
This application allows calcubiomarkers. Biophysical and 19°0 to 24°6, 30°0 to 34°6, 35°0 iophysical measurem	ulation of risks for P biochemical marker to 37 ⁺⁶ weeks).	s should be ob	tained within the same gestational age block (11^{*0} to 14^{*1}
This application allows calcubiomarkers. Biophysical and 19*0 to 24*6, 30*0 to 34*6, 35*0	ulation of risks for P biochemical marker to 37 ^{r6} weeks}. nents rimesters are MAP a light ⁱ	s should be ob and mean UTPI MAP (mmHg,	
This application allows calcubiomarkers. Biophysical and 19 ⁻⁰ to 24 ⁻⁶ , 30 ⁻⁰ to 34 ⁻⁶ , 35 ⁻⁰ iophysical measurem	ulation of risks for P biochemical marker to 37 ⁺⁶ weeks}. nents	s should be ob and mean UTPI MAP (mmHg,	tained within the same gestational age block (11^{*0} to 14^{*1}
This application allows calcubiomarkers. Biophysical and 19 ⁵⁰ to 24 ⁵⁰ , 30 ⁵⁰ to 34 ⁵⁰ , 35 ⁵⁰ tiophysical measurem. Useful markers for all three to Date of measurement. We dd-mm-yyyyy	ilation of risks for P blochemical marker to 37 ¹⁶ weeks). eents rimesters are MAP a light kg lbs	s should be ob and mean UTPI MAP (mmHg,	trained within the same gestational age block (11^{*0} to 14^{*1}).
biomarkers. Biophysical and 19 ⁻⁰ to 24 ⁻⁰ , 30 ⁻⁰ to 34 ⁻⁰ , 35 ⁻⁰ siophysical measurem <i>Useful markers for all three t</i> Date of measurement. We dd-mm-yyyy	illation of risks for P biochemical marker to 37 ⁻⁶ weeks). nents kg Ibs	s should be obtained mean UTPI MAP (mmHg;	the second and third trimesters are PLGF and SFLT

Uterine Doppler (PE), 01.03.2016, 2.jpg



Sagittal section Insonation angle < 30° Velocity > 60 cm/s

Examiner: Olga Khoury Carter





Spätes 1. Trimenon

Rechtfertigung eines Screenings?

ASS 100 mg/Tag.

Indikation: Individuelles Risiko von 1 zu 20 oder schlechter.

- Einnahme von **ASS 100mg/Tag** empfohlen (**vor der 16. SSW** begonnen). (Bujold et al 2010, Roberge et al, 2012)
 - (USA 81 mg/Tag ab 12. SSW)
- Einnahme von ASS 100mg/tag > 16. SSW hat keinen Effekt, steigert Risiko für vorzeitige Plazentalösung.
- Die Inzidenz einer schweren Präeklampsie kann bei den testpositiven Patientinnen um 50% gesenkt werden (vor 37. SSW).

Kritik

- Daten umstritten. Metaanalyse heterogene Studien mit teils unterschiedlichen Aspirin-Dosierungen und Protokollen.
- Relevante Anzahl von Schwangeren wird verunsichert, übertherapiert!





Randomisierte Studie, ASS 150 mg, Outcome? Daten in 2017!

Roberge et al: Early Administration of Low-Dose Aspirin for the Prevention of Severe and Mild Preeclampsia: A Systematic Review and Meta-Analysis, Am J Perinatol 2012;29:551 – 556 Obstet Gynecol. 2010 Aug;116(2 Pt 1):402-14. doi: 10.1097/AOG.0b013e3181e9322a. Prevention of preeclampsia and intrauterine growth restriction with aspirin started in early pregnancy: a meta-analysis. Bujold E1, Roberge S, Lacasse Y, Bureau M, Audibert F, Marcoux S, Forest JC, Giguère Y.

Bujold E, Roberge S, Nicolaides KH. Low-dose aspirin for prevention of adverse outcomes related to abnormal placentation. *Prenat Diagn* 2014; **34**: 642 – 648.

Levefre ML. Low-dose aspirin use for the prevention of morbidity and mortality from pre-eclampsia: U.S. Preventive Services Task Force Recommendation Statement. *Ann Intern Med* 2014; **161**: 819 –





Spätes 1. Trimenon

Diskussion ASS 100 mg/Tag.

(AWMF 015/018 – S1-Leitlinie: Diagnostik und Therapie hypertensiver Schwangerschaftserkrankungen aktueller Stand: 12/2013)

"Die derzeit einzige effektive Prävention der Präeklampsie bei Frauen mit Risikofaktoren (z.B. schwere Präeklampsie in der Anamnese) besteht in einer ab der Frühschwangerschaft (bis spätestens 16. SSW) beginnenden oralen Einnahme von niedrig dosierter Acetylsalicylsäure (ASS: 75-150 mg/Tag). Dieses Vorgehen senkt signifikant das Risiko für eine Präeklampsie vor der 37. SSW, nicht aber in Terminnähe, sowie das Risiko für eine (schwere) Präeklampsie, Gestationshypertonie und IUGR bei pathologischem Dopplerbefund der Aa. uterinae.

In Deutschland hat sich inzwischen eine <u>ASS-Dosierung von 100 mg/Tag bis zur 34+0 SSW</u> etabliert. Eine generelle ASS-Prophylaxe ist nicht indiziert."



Anwendung eines Arzneimittels außerhalb der genehmigten Anwendungsgebiete (Off-Label-Use).







Fetales Risiko: ASS 100 mg/Tag?



"1. Trimenon:

Risiko für Gastroschisis und Nierenfehlbildungen sowie für Spontanaborte. **Bisher nicht bestätigt.**

ASS-Einnahme am Ende des I.Trimenon oder zu Beginn des II. Auftreten eines Hodenhochstands. **Bisher nicht bestätigt.**

Kein nennenswertes teratogenes Risiko anzunehmen.

Eine "Low-dose"-Behandlung, die unter bestimmten Bedingungen zur **Prophylaxe wiederholter Spontanaborte und Präeklampsie** indiziert ist, ist unproblematisch.

Die Wirksamkeit einer solchen Medikation ist bisher nicht eindeutig geklärt."







CAVE: ASS hat nur einen limitierten Effekt!

Welche Frauen profitieren nicht von ASS?

- Chronische Hypertonie
- Präexistenter Diabetes mellitus
- Erhöhter BMI

Block-Abraham DM, Turan OM, Doyle LE, Kopelman JN, Atlas RO, Jenkins CB, Blitzer MG, Baschat AA. First-trimester risk factors for pre-eclampsia development in women initiating aspirin by 16 weeks of gestation. Obstet Gynecol 2014; 123: 611 – 617.

Villa PM, Kajantie E, Ra" ikko" nen K, Pesonen AK, Ha" ma" la" inen E, Vainio M, Taipale P, Laivuori H; PREDO Study group. Aspirin in the prevention of pre-eclampsia in high-risk women: a randomized placebo-controlled PREDO Trial and a meta-analysis of randomized trials. BJOG 2013; 120: 64 – 74.



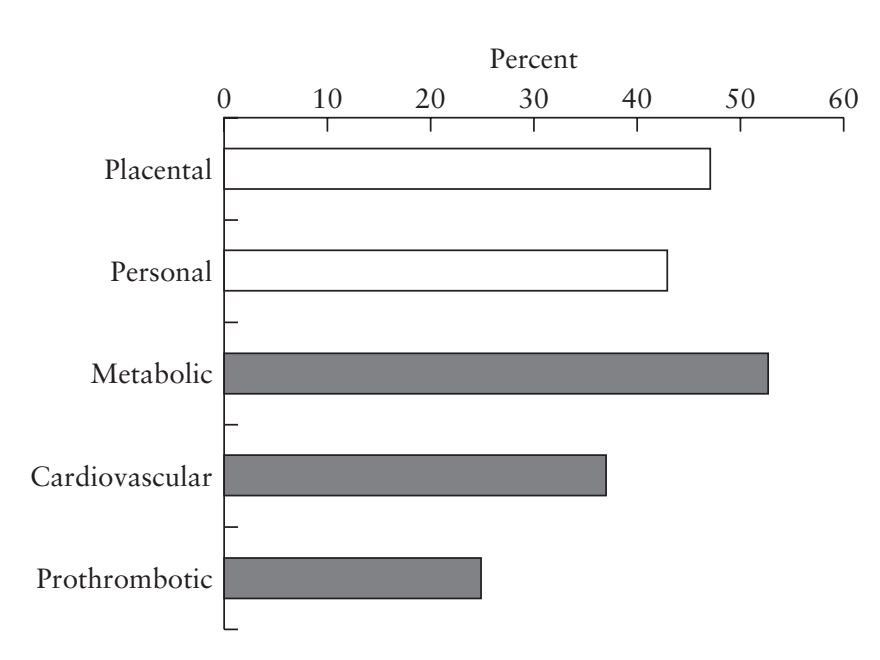


Figure 3 Adjusted proportional contribution of individual risk profiles to pre-eclampsia risk, according to whether they are not treatable (\square) or treatable (\square).

Scholten et al., 2013.

Prävalenz von Risikoprofilen bei Frauen mit positiver Anamnese für Präeklampsie.

77% der Frauen hatten ein Risikoprofile

- 66,1% kardiovaskuläre Risikoprofil
- 18,7% Hyperhomocysteinämie
- 15,4% metabolisches Syndrom
- 10,8% Thrombophilie



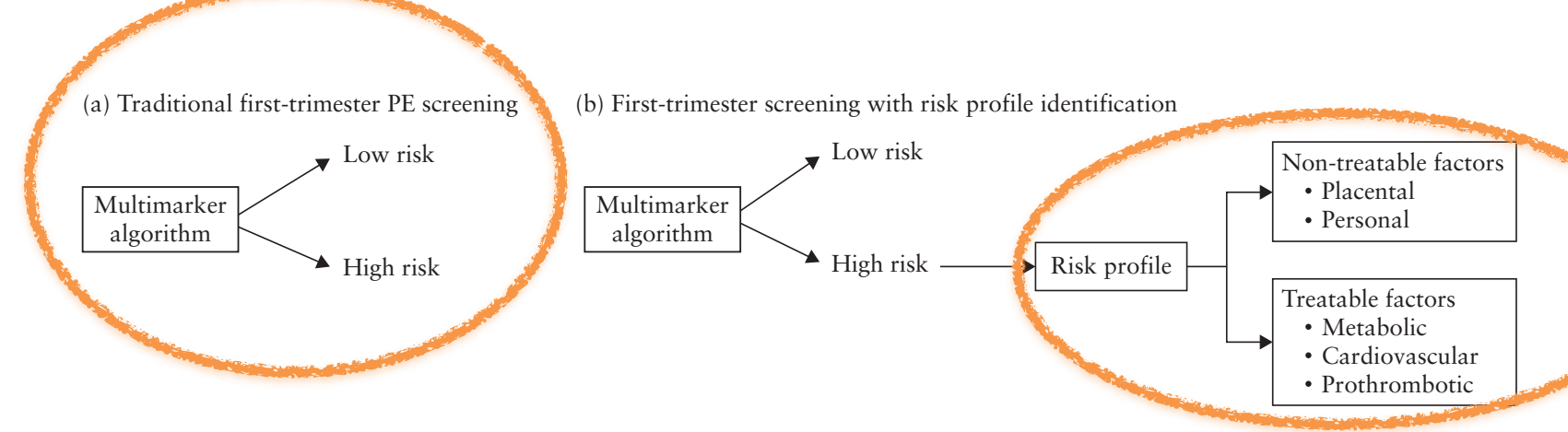


Figure 4 Flowcharts comparing traditional (a) and risk-profile-based (b) first-trimester screening for pre-eclampsia (PE). Traditional first-trimester screening provides a risk estimate based on a number of variables. First-trimester screening with risk profile identification also determines the treatable and non-treatable factors that confer the increased risk in screen-positive women.



Was können wir noch tun?

Ultrasound Obstet Gynecol 2016; 47: 548–553 Published online 3 April 2016 in Wiley Online Library (wileyonlinelibrary.com). **DOI:** 10.1002/uog.15789



Prevention of pre-eclampsia by low-molecular-weight heparin in addition to aspirin: a meta-analysis

S. ROBERGE*, S. DEMERS*†‡, K. H. NICOLAIDES‡, M. BUREAU†, S. CÔTÉ\$ and E. BUJOLD*†

*Department of Social and Preventive Medicine, Université Laval, Québec, Canada; †Department of Obstetrics and Gynecology, Université Laval, Québec, Canada; ‡Harris Birthright Research Centre for Fetal Medicine, King's College Hospital, London, UK; §Department of Medicine, Université Laval, Québec, Canada

Based on limited evidence, the addition of LMWH to low-dose aspirin could reduce the prevalence of PE and SGA in women with a history of PE. This observation should be the basis of a well-conducted future trial rather than a recommendation for immediate clinical application.





Was können wir noch tun?

L-Arginin

- · Rate an Präeklampsie wird reduziert
 - Nur in Untergruppe: vorherigen Präeklampsie. Familienanamnese Präeklampsie.
 - Die Therapie muss um die 24 SSW. eingeleitet werden.

Calcium

• Rate an Präeklampsie wird in bis zu 64% bei Frauen mit niedriger Kalziumaufnahme (<600 mg täglich) reduziert.

Vitamin C und E

- Reduziert das Risiko nur in der Untergruppe BMI> 30.
- Frauen mit der Anamnese Präeklampsie in einer vorausgegangenen Schwangerschaft, chronischer Hypertonie, Diabetes oder pathologischer A. uterina Doppler profitieren nicht.

Vadillo-Ortega F, Perichart-Perera O, Espino S, Avila-Vergara MA, Ibarra I, Ahued R, Godines M, Parry S, Macones G, Strauss JF. Effect of supplementation during pregnancy with L-arginine and antioxidant vitamins in medical food on pre-eclampsia in high risk population: randomized controlled trial. BMJ 2011; 342: d2901.

Patrelli TS, Dall'asta A, Gizzo S, Pedrazzi G, Piantelli G, Jasonni VM, Modena AB. Calcium supplementation and prevention of preeclampsia: a meta-analysis. *J Matern Fetal Neonatal Med* 2012; 25:2570–2574.

Hofmeyr GJ, Lawrie TA, Atallah AN, Duley L. Calcium supplementation during pregnancy for pre- venting hypertensive disorders and related problems. Cochrane Database of Systematic Reviews, Issue 8, 2010. 10.1002/14651858.CD001059.pub3.

McCanceDR, HolmesVA, MareshMJ, PattersonCC, Walker JD, Pearson DW, Young IS, Diabetes and Pre-eclampsia Intervention Trial (DAPIT) Study Group. Vitamins C and E for prevention of pre-eclampsia in women with type 1 diabetes (DAPIT): a randomized placebo-controlled trial. *Lancet* 2010; **376**: 259–266.

Villar J, Purwar M, Merialdi M, Zavaleta N, Thi Nhu Ngoc N, Anthony J, De Greeff A, Poston L, Shennan A; WHO Vitamin C and Vitamin E trial group. World Health Organisation multicentre randomised trial of supplementation with vitamins C and E among pregnant women at high risk for pre-eclampsia in populations of low nutritional status from developing countries. *BJOG* 2009; **116**: 780–788.



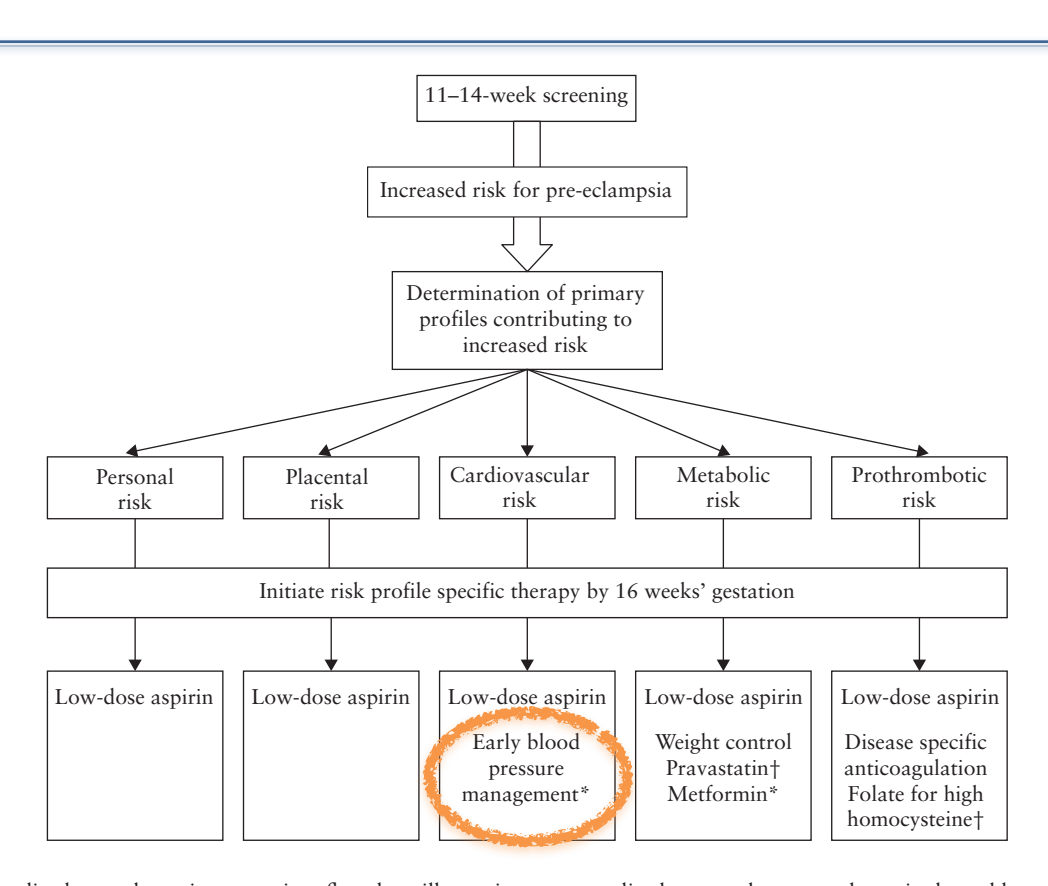


Figure 6 Personalized pre-eclampsia prevention: flowchart illustrating a personalized approach to pre-eclampsia that addresses all risk factors contributing to a woman's risk. *Randomized trials are needed. †Randomized trials are currently underway.

Block-Abraham DM, Turan OM, Doyle LE, Kopelman JN, Atlas RO, Jenkins CB, Blitzer MG, Baschat AA. First-trimester risk factors for pre-eclampsia development in women initiating aspirin by 16 weeks of gestation. Obstet Gynecol 2014; 123:

Zhuo Z, Wang A, Yu H. Effect of metformin intervention during pregnancy on the gestational diabetes mellitus in women with polycystic ovary syndrome: a systematic review and meta-analysis. J Diabetes Res 2014; 2014: 381231.





Fassung

Zusammenfassung!

- Präeklampsie Screening in 11+0 bis 13+6 SSW.
- Fixe falsch positiv Rate 10 %.
- Negativer prädiktiver Wert 97,5-99,8%.
- Cut off 1 zu 20 oder schlechter = Indikation ASS 100 mg/Tag vor der 16+0 SSW.
- Einnahme bis 34+0 SSW.
- ASS ist ein Off-Label-Use. Schriftliche Dokumentation.
- Risikoprofil spezifizieren. Anamnese?, BMI?
- Risikoprofil: Konsultation Endokrinologie, Gerinnungsambulanz, Innere Medizin.
- Engmaschige Beobachtung (MuVo insuffizient, KVWL keine Abrechnungsgrundlage).
- Kooperation mit Pränatal- und Perinatalzentren.



Dr. Katharina Möller-Morlang _{1,2} Dr. Thomas von Ostrowski _{1,3}

Fachärzte für Frauenheilkunde und Geburtshilfe 1 Gynäkologische Endokrinologie und Reproduktionsmedizin 2 Tätigkeitschwerpunkt Pränatalmedizin (DEGUM II) 3

Südwall 15 46282 Dorsten

Telefon 02362 27001 Telefax 02362 27002

www.praenatal-dorsten.de www.kinderwunsch-dorsten.de



Herzlichen Dank für Ihre Aufmerksamkeit



Berufsausübungsgemeinschaft Dr. med. Katharina Möller-Morlang, Dr. med. Thomas von Ostrowski Partnerschaft-Fachärzte für Frauenheilkunde und Geburtshilfe*, Sitz Dorsten, Amtsgericht Essen, PR 2553

* Im Rahmen der vertragsärztlichen und in Teilen der privatärztlichen Tätigkeit zusammengeschlossen mit der Kinderwunschzentrum Prof. Dr. Dieterle, Dr. Neuer, Prof. Dr. Greb MVZ Ärzte Partnerschaft, Dortmund, sowie mit Prof. Dr. med. Stefan Dieterle, Wuppertal, zur überörtlichen Berufsausübungsgemeinschaft Kinderwunsch Dortmund, Siegen, Dorsten, Wuppertal GbR









DORTMUND 25. November 2017

www. praenatal-allround.de





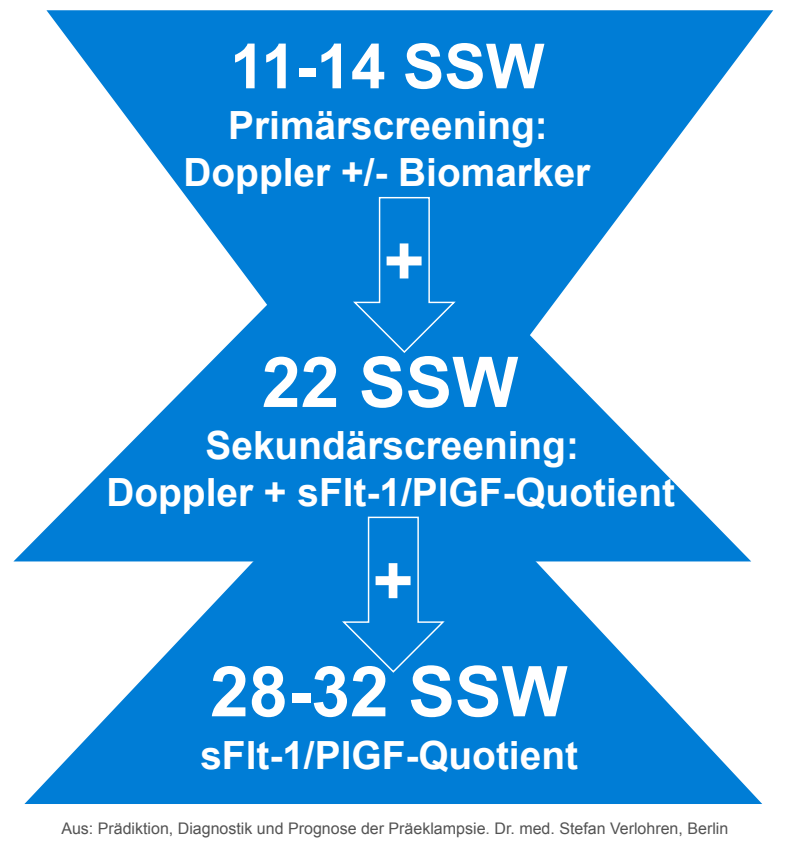
Sonointensivkurs: Der kompakte Ultraschallführerschein für Klinik und Praxis - Dopplersonographie in der Schwangerschaft - DEGUM anerkannt Präeklampsie-Screening

Dr. med. Thomas von Ostrowski

Screening auf Präeklampsie: eine komplexe Pyramide

Dopplersonographie

"1/4 bis 1/3 aller Patientinnen mit
pathologischem Dopplersonogramm
der Aa. uterinae entwickeln eine
schwere Verlaufsform der SIH
oder Präeklampsie!
Schwangere mit unauffälligen Aa.
uterinae (unter Beachtung des
Gestationsalters) können begründet
beruhigt werden (negativer prädikativer
Wert zwischen > 90 und 100%)"



Dopplersonographie

Aa. uterinae: PI? Notch?

Aa. uterinae: Verschwinden des

Notch?

Aa. uterinae: PI?

Parameter	Classified by category	Classified by risk profile	Amenable to treatment
Maternal age		Personal risk profile	No
Maternal ethnicity	1		
Tobacco use in pregnancy	Personal history		
Parity	Personal history		
Education level			
Conception method]		
Family history of pre-eclampsia			
Prior pre-eclampsia			
Prior preterm birth			
Renal disease	Past medical		
Hypertension	conditions	Cardiovascular risk profile	Yes: antihypertensives
Systolic blood pressure			
Diastolic blood pressure	Physical examination		
Mean arterial blood pressure			
Prior gestational diabetes	History		
Pre-existing diabetes mellitus	Past medical conditions	Metabolic risk profile Yes: metformin, pravastatin	
Maternal height			
Maternal weight	Physical examination		
Maternal body mass index			
Thrombophilia	Past medical conditions	Prothrombotic risk profile	Yes: heparin, aspirin
Uterine artery Doppler index	Placental blood flow		
Uterine artery notching	Flacental blood flow		
free beta-human chorionic gonadotropin]	
Pregnancy-associated plasma protein-A			
Placental growth factor			
Placental protein-13	Placental biomarker	Placental risk profile	No
A disintegrin and metalloproteinase-12			
Soluble endoglin			
Soluble fms-like tyrosine kinase-1			
P-selectin			
Neutrophil gelatinase-associated lipocalin			
Inhibin-A			
Vascular endothelial growth factor			
Tumor necrosis factor			
Pentraxin-3			
Angiopoietin	1		

Figure 1 First-trimester variables associated with pre-eclampsia, listed by category, risk profile and treatability.





Ultrasound Obstet Gynecol 2014; 43: 500–507 Published online 4 April 2014 in Wiley Online Library (wileyonlinelibrary.com). DOI: 10.1002/uog.13275



First-trimester uterine artery Doppler and adverse pregnancy outcome: a meta-analysis involving 55 974 women

L. VELAUTHAR*†, M. N. PLANA‡, M. KALIDINDI†, J. ZAMORA‡, B. THILAGANATHAN§, S. E. ILLANES¶, K. S. KHAN*†**, J. AQUILINA† and S. THANGARATINAM*†**

*Women's Health Research Unit, Blizard Institute, Barts and the London School of Medicine and Dentistry, Queen Mary University of London, London, UK; †Women's Health Unit, Barts Health NHS Trust, London, UK; †Clinical Biostatistics Unit, Hospital Ramon y Cajal (IRYCIS) and CIBER Epidemiologíay Salud Pública (CIBERESP), Madrid, Spain; §The Fetal Medicine Unit, Academic Department of Obstetrics and Gynaecology, St George's Hospital Medical School, London, UK; ¶Fetal Medicine Unit, Department of Obstetrics and Gynaecology, Universidad de los Andes, Santiago, Chile; **Multidisciplinary Evidence Synthesis Hub (MESH), Barts and the London School of Medicine and Dentistry, Queen Mary University of London, UK

Prediction of early-onset pre-eclampsia: 47.8% - 92.1%

Prediction of early-onset fetal growth restriction: 39.2% - 93.1%

Sensitivities for predicting any pre-eclampsia and fetal growth restriction: 15.4 % - 26.4%

Specificities: 93.3% - 93.4%

The number needed to treat (NNT) with aspirin to prevent one case of early-onset pre-eclampsia fell from 1000 to 173 and from 2500 to 421 for background risks varying between 1% and 0.4%, respectively.





Positiver prädiktiver Wert

6 - 10%

Sibai B. First-trimester screening with combined maternal clinical factors, biophysical and biomarkers to predict preterm pre-eclampsia and hypertensive disorders: are they ready for clinical use? *BJOG* 2014 doi: 10.1111/1471-0528.13052 [Epub ahead of print].

Kane SC, Da Silva Costa F, Brennecke SP. New directions in the prediction of pre-eclampsia. AustNZJObstet Gynaecol 2014; 54: 101 – 107.

Oliveira N, Magder LS, Blitzer MG, Baschat AA. First-trimester prediction of pre-eclampsia: external validity of algorithms in a prospectively enrolled cohort. *Ultrasound Obstet Gynecol* 2014; **44**: 279 – 285.

Farina A, Rapacchia G, Freni Sterrantino A, Pula G, Morano D, Rizzo N. Prospective evaluation of ultrasound and biochemical-based multivariable models for the prediction of late pre-eclampsia. *Prenat Diagn* 2011; **31**: 1147 – 1152.





Richtlinien

des Gemeinsamen Bundesausschusses über die ärztliche Betreuung während der Schwangerschaft und nach der Entbindung ("Mutterschafts-Richtlinien")

in der Fassung vom 10. Dezember 1985 (veröffentlicht im Bundesanzeiger Nr. 60 a vom 27. März 1986) zuletzt geändert am 21. April 2016 veröffentlicht im Bundesanzeiger AT 19.07.2016 B5 in Kraft getreten am 20. Juli 2016

Dopplersonographische Untersuchungen

Die Anwendung der Dopplersonographie als Maßnahme der Mutterschaftsvorsorge ist nur bei einer oder mehreren der nachfolgend aufgeführten Indikationen und - mit Ausnahme der Fehlbildungsdiagnostik - nur in der zweiten Schwangerschaftshälfte zulässig.

Indikation	Anwendung im 1. Trimenon
Verdacht auf intrauterine Wachstumsretardierung	Sollte aus theoretischen Sicherheitsüberlegungen erst ab der 20. SSW erfolgen (AWMF-Register Nr. 015/019m Klasse: S1)
Hypertensive Schwangerschaftserkrankungen (in allen ihren Ausprägungen)	Maternale Gefäße
Zustand nach Mangelgeburt/intrauterinem Fruchttod	Maternale Gefäße
Zustand nach Präeklampsie/Eklampsie	Maternale Gefäße
Auffälligkeiten der fetalen Herzfrequenzregistrierung	
Begründeter Verdacht auf Fehlbildung/fetale Erkrankung	
Mehrlingsschwangerschaft bei diskordantem Wachstum	
Abklärung bei Verdacht auf Herzfehler/Herzerkrankungen.	





Sonointensivkurs: Der kompakte Ultraschallführerschein für Klinik und Praxis - Dopplersonographie in der Schwangerschaft - DEGUM anerkannt **Präeklampsie-Screening**

Dr. med. Thomas von Ostrowski

Meta-analysis of randomized studies on the use of low-dose aspirin in women at high risk of preeclampsia (PE) has demonstrated that if treatment is initiated at ≤16 weeks' gestation, there is significant reduction in the risk of PE [relative risk (RR) 0.47, 95% confidence interval (CI) 0.36-0.62], fetal growth restriction (RR 0.46, 95% CI 0.33-0.64), preterm birth (RR 0.35, 95% CI 0.22-0.57) and perinatal death (RR 0.41, 95% CI 0.19-0.92), whereas the effect of treatment after 16 weeks is substantially less (RR 0.78, 95% CI 0.61-0.99; RR 0.98, 95% CI 0.88-1.08; RR 0.90, 95% CI 0.83-0.97; and RR 0.93, 95% CI 0.73-1.19, respectively). Moreover, the decrease in the risk of PE from early onset treatment seems to be related to the dose of aspirin, and a dose of >80 mg daily should be considered for optimal benefits.



Sonointensivkurs: Der kompakte Ultraschallführerschein für Klinik und Praxis - Dopplersonographie in der Schwangerschaft - DEGUM anerkannt



Dr. med. Thomas von Ostrowski

Dopplersonographie im I. Trimenon

Wann?

• 11+0 bis 13+6 SSW

Wozu?

- · Präeklampsie-Screening
- Aneuploidie-Screening und frühe Fehlbildungsdiagnostik

Was?

- · Aa. uterinae
- Ductus venosus
- Frühe Echokardiographie



Sonointensivkurs: Der kompakte Ultraschallführerschein für Klinik und Praxis - Dopplersonographie in der Schwangerschaft - DEGUM anerkannt



Dr. med. Thomas von Ostrowski

Pro 1 Million Einwohner

- ~ 9.000 Schwangerschaften
- ~ 2.700 Mütter 35+a
 - 1.900 ETS
 - 1.400 AC / CVS
 - 8.300 Geburten, davon
 - 270 relevante Fehlbildungen
 - 68 Herzfehler
 - 19 primär operative Intervention erforderlich

17 Neugeborene mit Trisomie 21





Dr. med. Thomas von Ostrowski



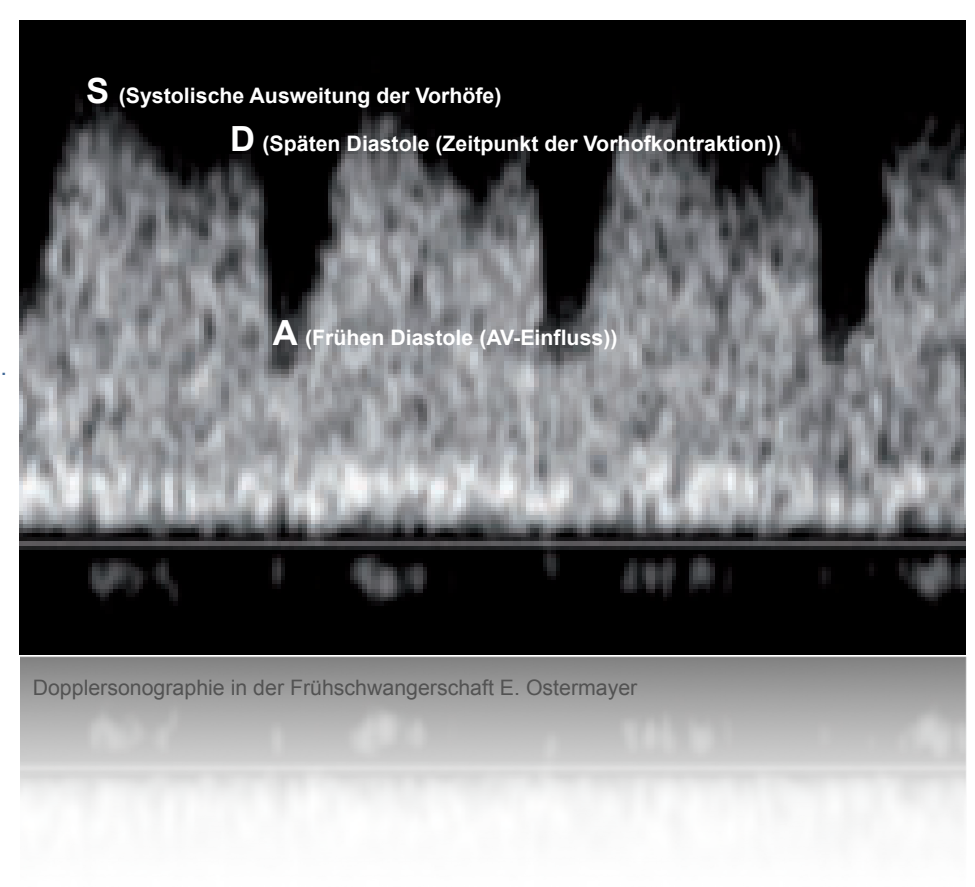




Dr. med. Thomas von Ostrowski

Ductus venosus

- Dünnes, kurzes Gefäß.
- Verbindet V. umbilicalis mit der V. cava inferior.
- Isthmus 0,5 mm (bis zur Einmündung in die V. cava trompetenförmig erweitert).
- Am Isthmus höchste Blutflussgeschwindigkeit im venösen System (Aliasing).
- Dopplermessung erfolgt im isthmischen Abschnitt im Bereich des Aliasing.







Dr. med. Thomas von Ostrowski

Fehlerquellen:

Überlagerung mit hepatischen Venen oder V. cava inferior führt zu falsch-negativer A-Welle.

- I. Trimenon intermittierend negative A-Welle.
 - Der DV kann seinen Gefäßdurchmesser aktiv verändern und reagiert auf adrenerge Substanzen, sowie NO und Prostaglandine.
 - Vorübergehende Veränderungen des Flussprofils. Diese Veränderungen sind abhängig von Geschwindigkeit, Gefäßdurchmesser, Viskosität und Herzfrequenz.
 - Häufiger in der 11 SSW als in der 13. SSW
 - bei niedrigem PAPP-A
 - bei schwarzer Hautfarbe





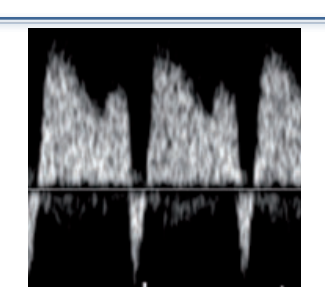
Dr. med. Thomas von Ostrowski



Befundinterpretation:

Vorsicht bei Beratung.

Euploide Feten: 5 %.



Unabhängiger Risikoparameter in I. Trimester- Screening (unabhängig von TKI und ßHCG PAPP-A).

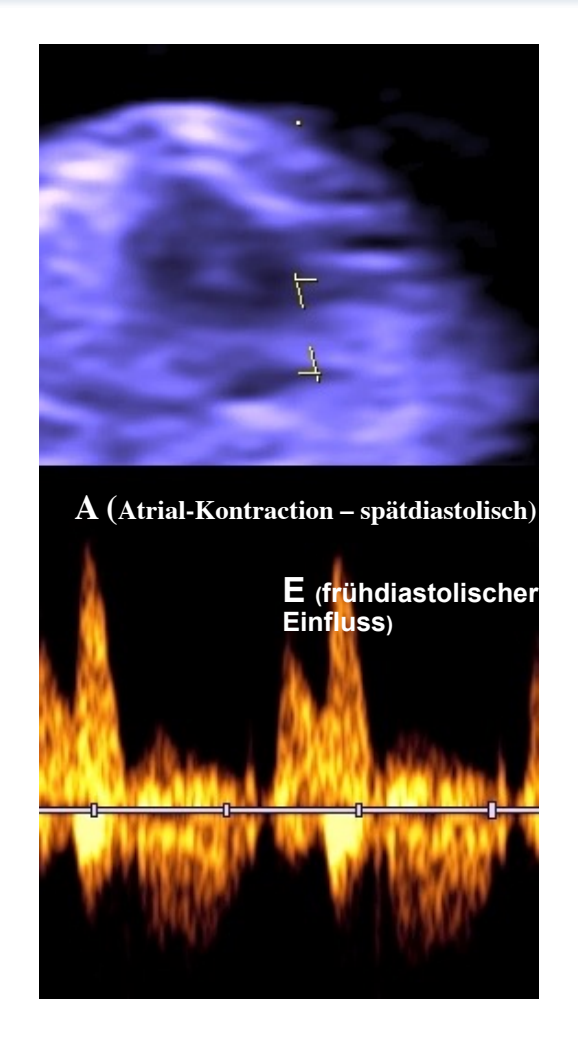
- Risiko für chromosomale Aberration (T 21, T 13, T 18)
 - Feten mit Trisomie 21: 83,3%
- Risiko für Herzfehler (unabhängig vom Chromosomenstatus)
 - Bei verdickter NT: Sensitivität bei auffälligen Ductus Venosus 83 % (Falsch-positiv-Rate von 20 %)¹
 - Feten mit normaler NT: Sensitivität 19% (Falsch-positiv-Rate von 4 %)1
- Risiko für ungünstigen Ausgang der Schwangerschaft (unabhängig der NT)
- Hinweis auf Entwicklung eines fetofetalen Transfusionssyndroms bei monochorialen Gemini





Dr. med. Thomas von Ostrowski

Trikuspidalinsuffizienz







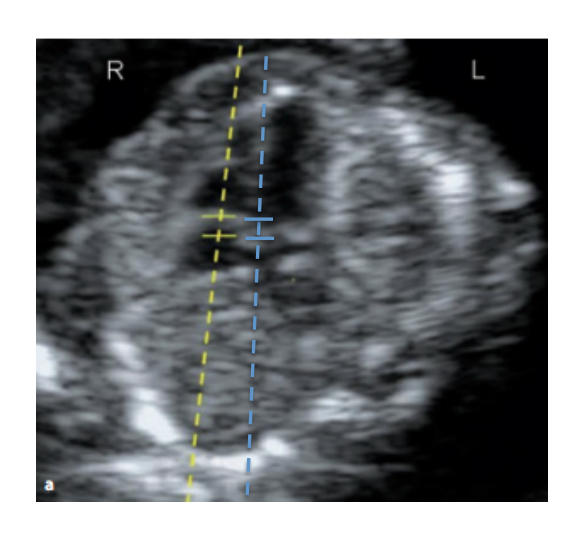
Dr. med. Thomas von Ostrowski

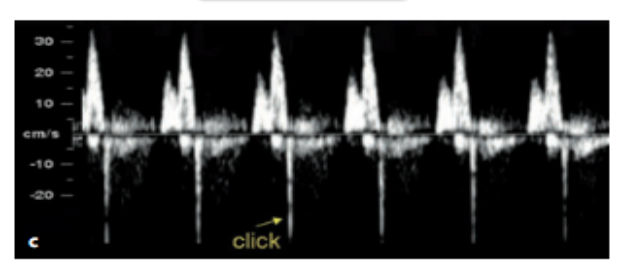
Fehlerquellen. Trikuspidalinsuffizienz – Dopplersignal

Herz- und Diabeteszentrum NRW

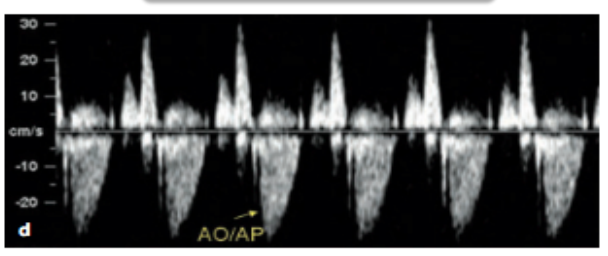
Trikuspidal-Doppler 1. Trimenon

Normal (Click)





Deplaziert : Ao-Flow



 Aorta und A. pulmonalis Blutflussgeschwindigkeit bei max. 50 cm/s









Dr. med. Thomas von Ostrowski

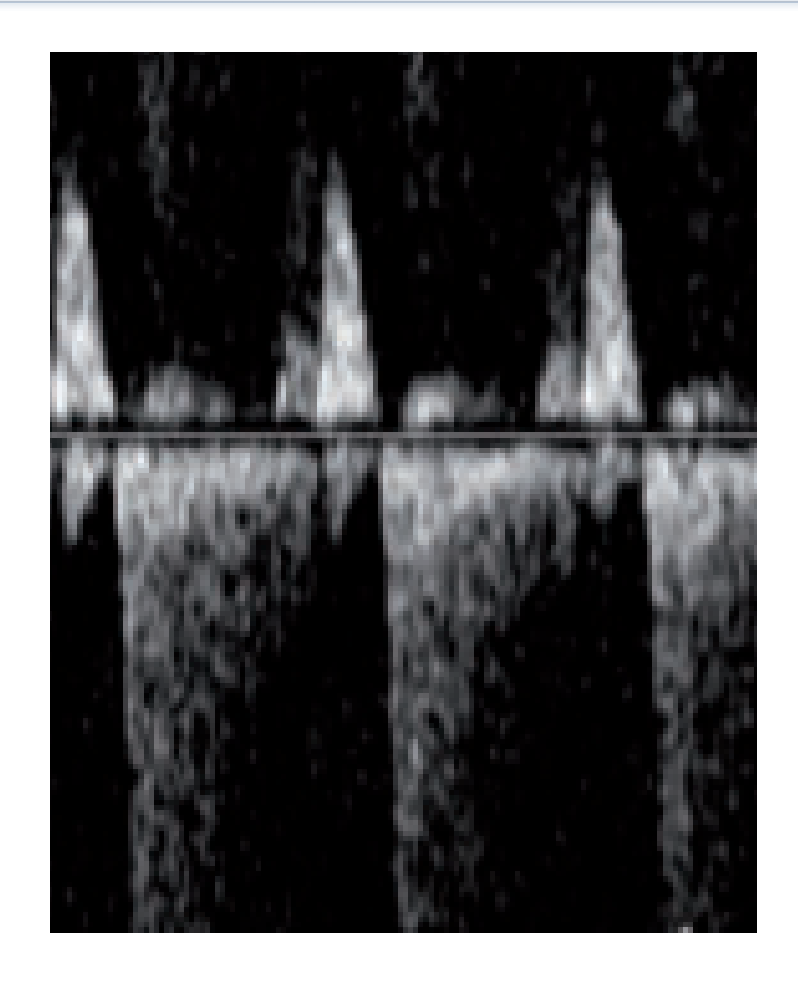
Trikuspidalinsuffizienz – Dopplersignal

Geschwindigkeit: >80 cm/sec mit steilem Anstieg der Kurve

Dauer länger als halbe Systole.

Diagnosestellung nur durch Pulsed-Wave-Doppler.

Vorübergehendes Phänomen, verschwindet im 2. Trimenon







Dr. med. Thomas von Ostrowski



Befundinterpretation:

Vorsicht bei Beratung.

Euploide Feten: 7 %.

Prävalenz TKI nimmt mit steigender NT zu.

Mit zunehmender SSL nimmt die Prävalenz ab.

Unabhängiger Risikoparameter in I. Trimester- Screening (unabhängig von Ductus venosus und ßHCG PAPP-A).

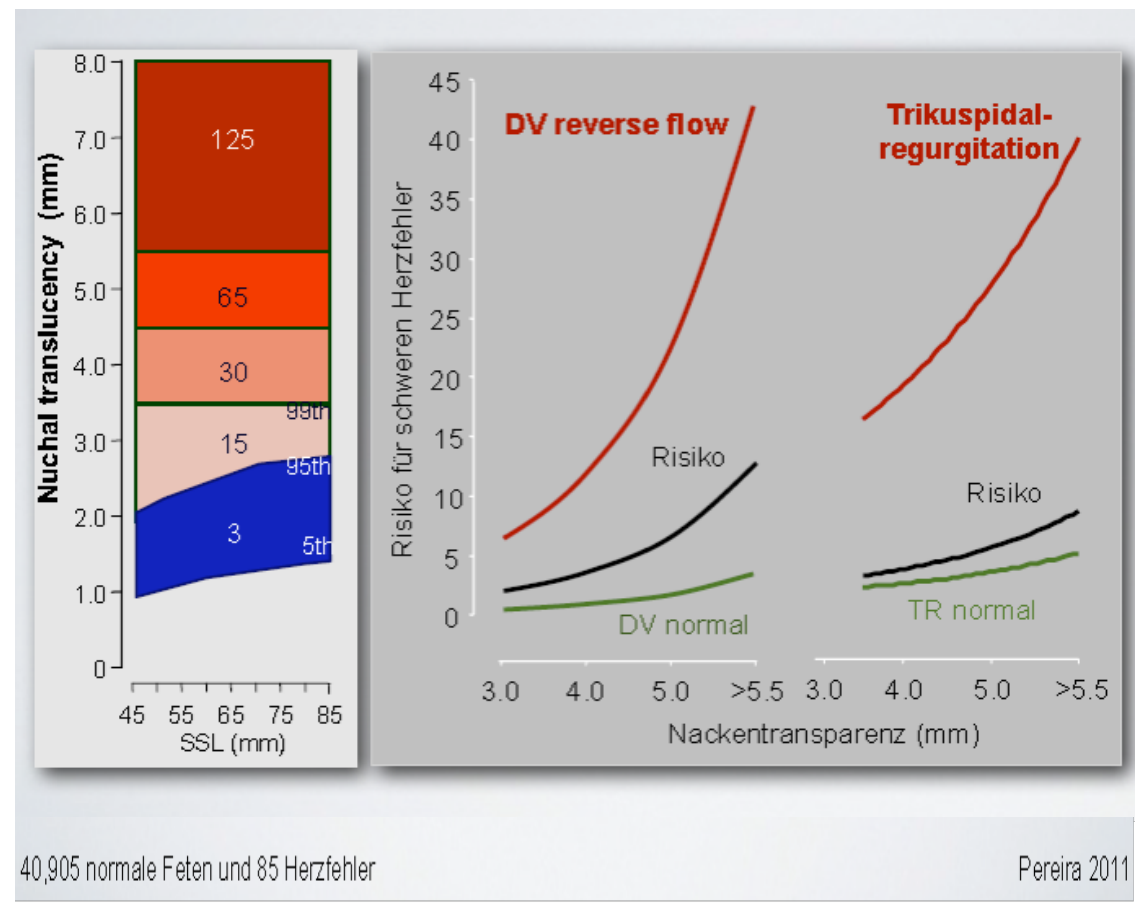
- Risiko für chromosomale Aberration (T 21, T 13, T 18)
 - Feten mit Trisomie 21: 74%
 - Feten mit Trisomie 18: 33%
 - Feten mit Trisomie 13: 30%
- Risiko für Herzfehler (unabhängig vom Chromosomenstatus)





Dr. med. Thomas von Ostrowski

Trikuspidalinsuffizienz und Ductus venosus- Auffälligkeiten.







Dr. med. Thomas von Ostrowski

Dopplersonographie im I. Trimenon

Wann?

• 11+0 bis 13+6 SSW

Wozu?

- · Präeklampsie-Screening
- Aneuploidie-Screening und frühe Fehlbildungsdiagnostik

Was?

- · Aa. uterinae
- Ductus venosus
- Frühe Echokardiographie





Dr. med. Thomas von Ostrowski

Herzfehler

Inzidenz von <u>5–8/1000</u> Lebendgeborene

Prävalenz angeborener Herzfehler bei Neugeborenen in **Deutschland** 01. Juli 2006 bis 30 Juni 2007

Geburten: n = 669298

Herzfehler: n = 7251 = 1.08 %

Bernier PL, Stefanescu A, Samoukovic G, Tchervenkov CI. The challenge of congenital heart disease worldwide: epidemiologic and demographic facts. Semin Thorac Cardiovasc Surg Pediatr Card Surg Annu 2010; 13: 26–34.

Van Der Linde D, Konings EE, Slager MA, et al. Birth prevalence of congenital heart disease worldwide: a systematic review and meta-analysis. J Am Coll Cardiol 2011;58(21):2241-7.





Dr. med. Thomas von Ostrowski

Wen?

Hoch-Risiko Kollektiv?

Niedrig-Risiko Kollektiv?

Statistisch betrachtet werden die meisten Herzfehler in einem niedrig-Risiko Kollektiv gefunden !!!





Dr. med. Thomas von Ostrowski

"Consensus Paper: Fetal Working Group, American Heart Association"



Verdickte Nackenfalte als Risikofaktor für einen großen Herzfehler		
Dicke der NT	Prävalenz großer Herzfehler	
2,5 bis 3,4 mm	1,5 %	
3,5 bis 4,4 mm	3,3 %	
4,5 bis 5,4 mm	5,5 %	
5,5 bis 6,6 mm	15 %	
6,7 bis 8,4 mm	19 %	

Risikoklasse 1: Eine detaillierte FE sollte
durchgeführt werden.

Erhöhte Nackenfaltenmessung (NT) im 1. Trimenon	Absolutes Risiko % Lebendgeburten
> 3,5 mm	6 %
> 6 mm	24 %
> 8,5 mm	> 60%

Donofrio MT, Moon-Grady AJ, Hornberger LK, Copel JA, Sklansky MS, et al. Diagnosis and treatment of fetal cardiac disease: a scientific statement from the American Heart Association. Circulation 2014; 129: 2183–242.





Dr. med. Thomas von Ostrowski

Welche Herzfehler können entdeckt werden und mit welcher Entdeckungsrate?

Hochrisikokollektiv: Die meisten Studien betrachten Feten mit erhöhter Nackentransparenz.

Herzfehler, die im Vierkammerblick erkennbar sind (Asymmetrie der Kammer, große Ventrikelseptumdefekte und atrioventrikuläre Septumdefekte).

- Gruppe der Feten mit einer Nackentransparenz > 2,5 mm lag die Entdeckungsrate bei 96 %.¹
- Gruppe der Feten mit einer Nackentransparenz < 2,5 mm lag die Entdeckungsrate bei 37,5 %.1
- Andere Arbeiten zeigen Entdeckungsrate im ersten Trimenon zwischen 64 und 92%.^{2,3,4,5}

⁵Hartge DR et al.: Results of early foetal echocardiography and cumulative de- tection rate of congenital heart disease. Cardiol Young (2011) 1–13.

¹Becker R, Wegner RD: Detailed screening for fetal anomalies and cardiac defects at the 11-13-week scan. Ultrasound Obstet Gynecol 27 (2006) 613-618.

²Smrcek JM et al.: Detection rate of early fetal echocardiography and in utero de- velopment of congenital heart disease. J Ultrasound Med 25 (2006) 187–196.

³Axt-Fliedner R et al.: Detection rate of early fetal echocardiography and spec- trum of congenital heart disease. Ultra- sound Obstet Gynecol 32 (2008) OCO67.

⁴Rasiah SV et al.: A systematic review of the accuracy of rst-trimester ultrasound examination for detecting major congeni- tal herat disease. Ultrasound Obstet Gyne- col 28 (2006) 110–116.

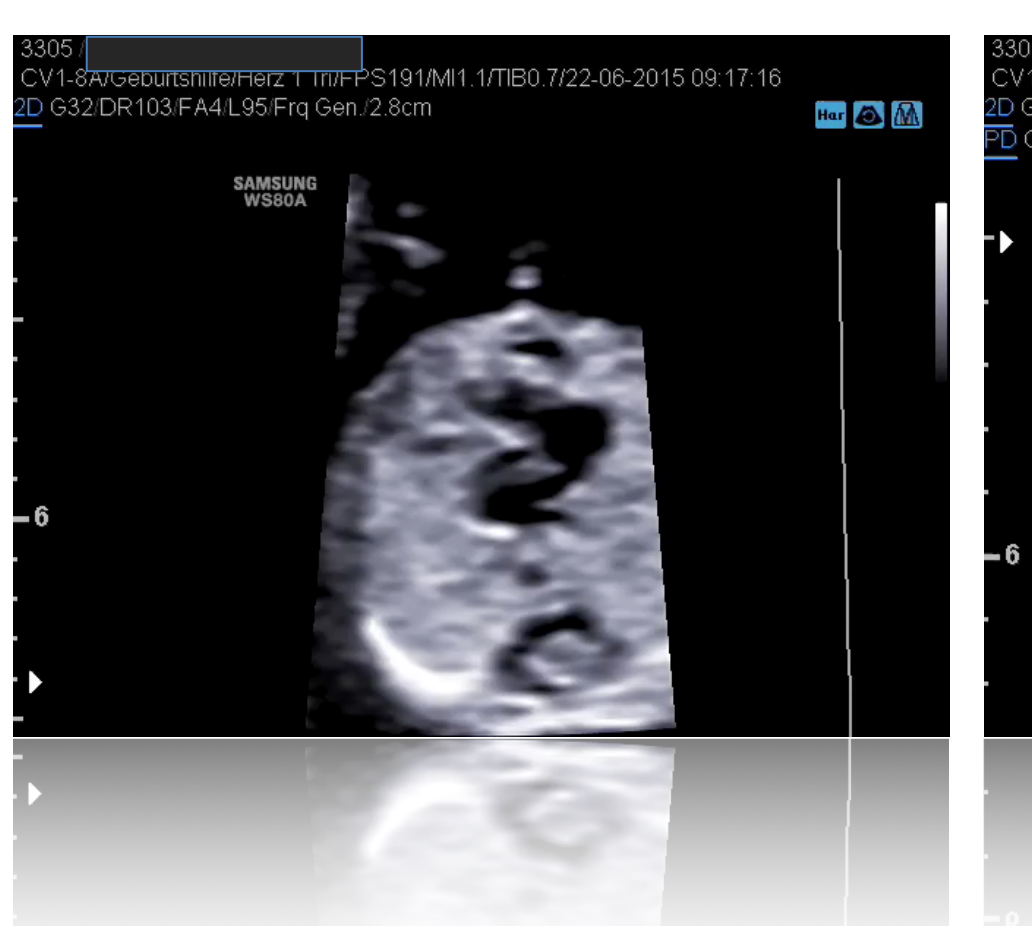


KINDERWUNSCH DORTMUND SIEGEN DORSTEN WUPPERTAL STANDORT DORSTEN UND PRÄNATALMEDIZIN DORSTEN

Sonointensivkurs: Der kompakte Ultraschallführerschein für Klinik und Praxis - Dopplersonographie in der Schwangerschaft - DEGUM anerkannt Frühe Echokardiographie

Dr. med. Thomas von Ostrowski

Echokardiographie







KINDERWUNSCH DORTMUND SIEGEN DORSTEN WUPPERTAL STANDORT DORSTEN UND PRÄNATALMEDIZIN DORSTEN

Sonointensivkurs: Der kompakte Ultraschallführerschein für Klinik und Praxis - Dopplersonographie in der Schwangerschaft - DEGUM anerkannt Frühe Echokardiographie

Dr. med. Thomas von Ostrowski





Der Herzfehler ist im Vier-Kammer-Blick darstellbar. Der Herzfehler ist im Vier-Kammer-Blick nicht darstellbar.

Herzfehler	% Herzfehler	Sichtbar im 4 Kammerblick
VSD	35,7 %	Ja
Pulmonalstenose	7,2 %	Nein Ja, falls HRHS
TOF	4,2 %	Nein
Aortenisthmusstenose	4 %	Ja
Aortenstenose	4 %	Nein Ja, falls Endokardfibroelastose/HLHS
AVSD	3,48 %	Ja
D-TGA	3,15 %	Nein Ja (?) VSD (?)
HLHS	2,26 %	Ja
HRHS	2,2 %	Ja
Ebstein Anomalie	1,14 %	Ja

TABLE 1.1 Types and Incidence of Human Congenital Heart Disease

Defect	Incidence per 1,000 live births
VSD	3.570
PDA	0.799
ASD	0.941
AVSD	0.348
PS	0.729
AS	0.401
CoA	0.409
TOF	0.421
D-TGA	0.315
HRH	0.222
Tricuspid atresia	0.079
Ebstein anomaly	0.114
Pulmonary atresia	0.132
HLH	0.266
Truncus	0.107
DORV	0.157
SV	0.106
TAPVC	0.094

VSD, ventricular septal defect; PDA, patent ductus arteriosus; ASD, atrial septal defect; AVSD, atrioventricular septal defect; PS, pulmonary stenosis; AS, aortic stenosis; CoA, coarctation of the aorta; TOF, tetralogy of Fallot; D-TGA, complete transposition of the great arteries; HRH, hypoplastic right heart; HLH, hypoplastic left heart; DORV, double outlet right ventricle; SV, single ventricle; TAPVC, total anomalous pulmonary venous connection.

Modified from Hoffman JI, Kaplan S. The incidence of congenital heart disease. J Am Coll Cardiol. 2002;39:1890–1900, with permission.

Ferencz, C, Rubin, JD, Loffredo, CA, Magee, CM. The Epidemiology of Congenital Heart Disease, The Baltimore-Washington Infant Study (1981-1989), Perspectives in Pediatric Cardiology, vol. 4. MountKisco, N.Y. Futura Publishing Co.Inc., 1993.

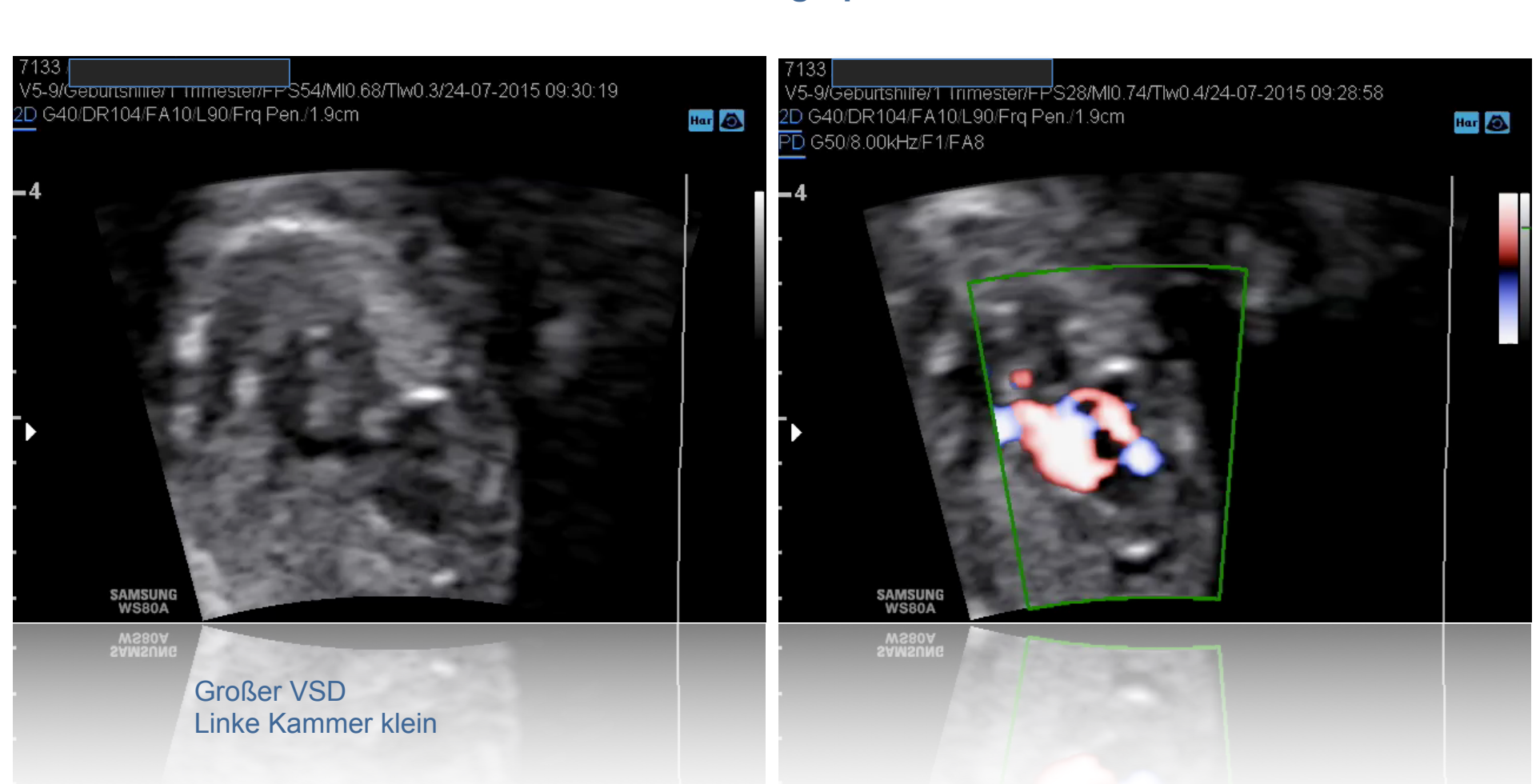
Ferencz, C Loffredo, CA, Correa-Villasenor, Wilson, PD. Genetic and Environmental Risk Factors of Major Cardiovascular Malformations, The Baltimore-Washington Infant Study, (1981-1989), Perspectives in Pediatric Cardiology, vol.5. Armonk, N.Y: Futura Publishing Co.Inc, 1997.





Dr. med. Thomas von Ostrowski

Echokardiographie

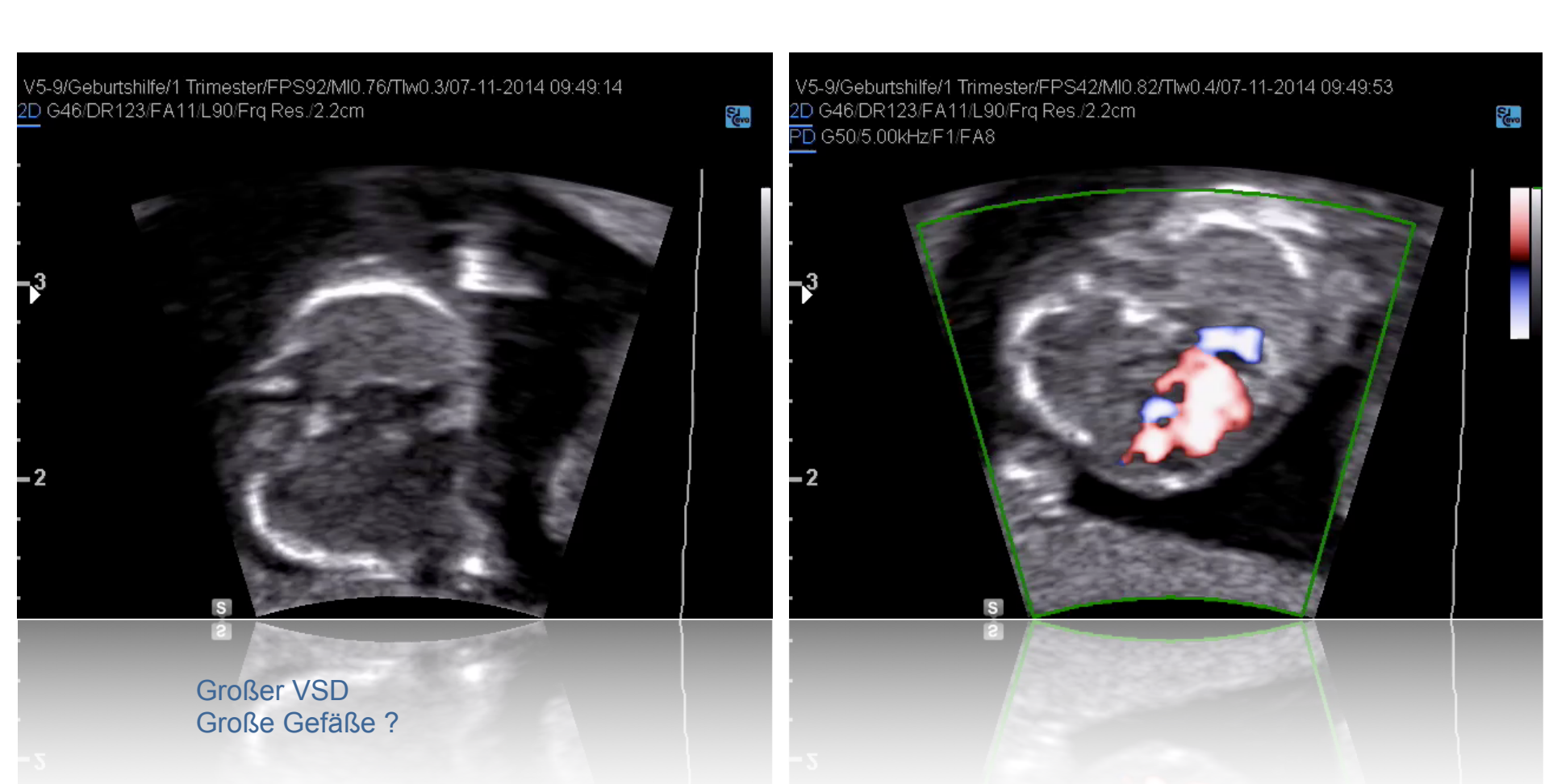






Dr. med. Thomas von Ostrowski

Echokardiographie



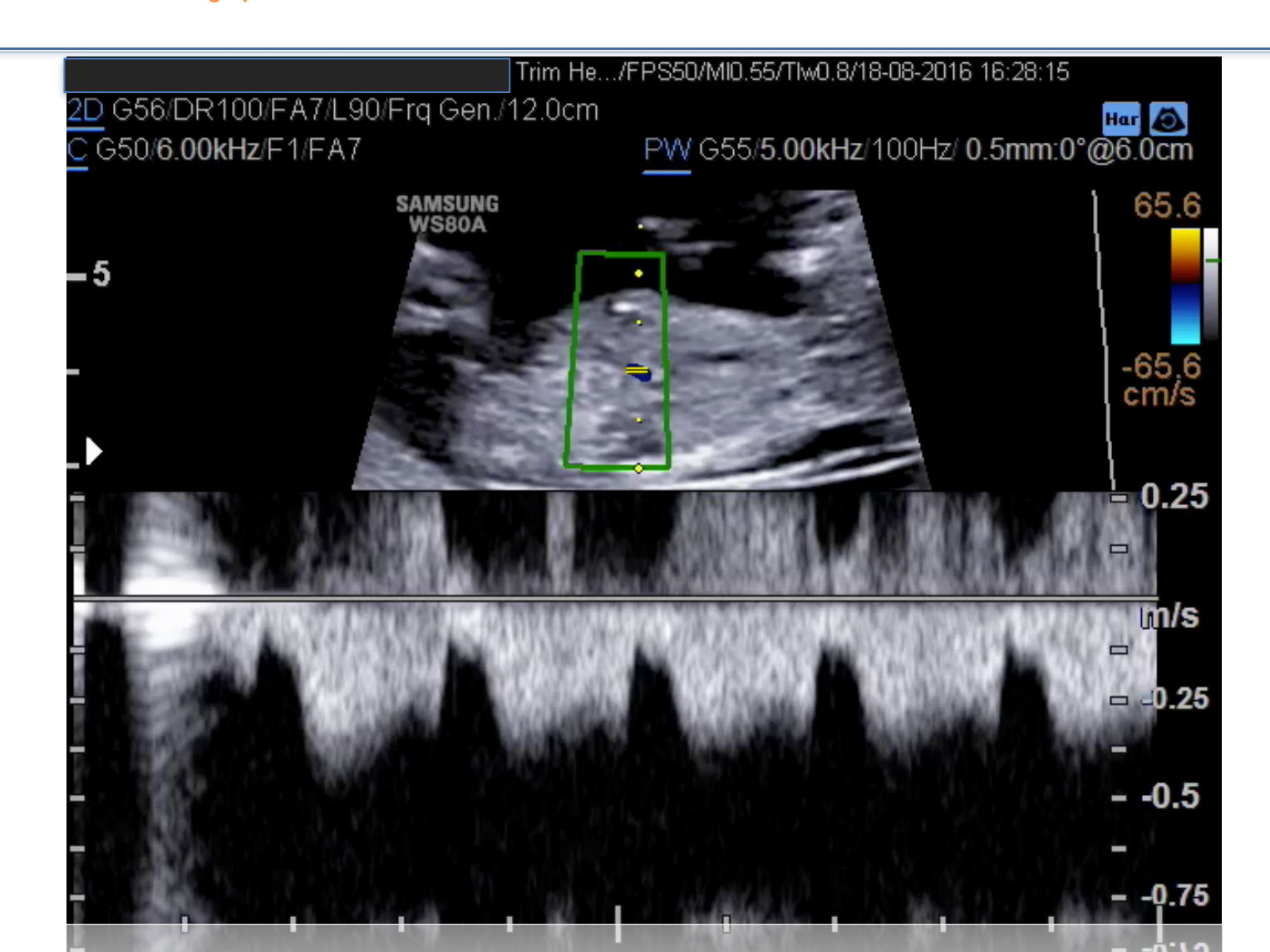






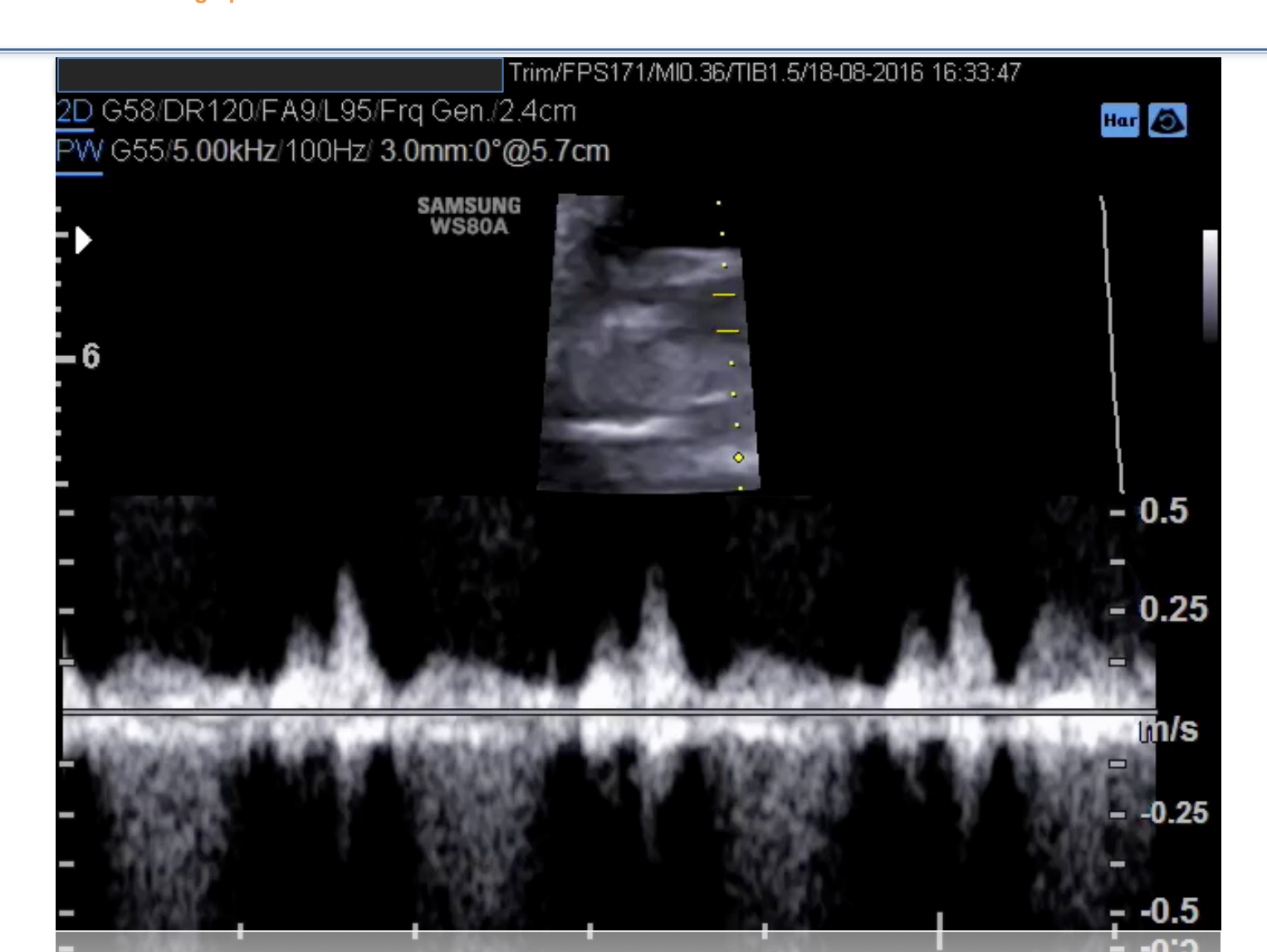






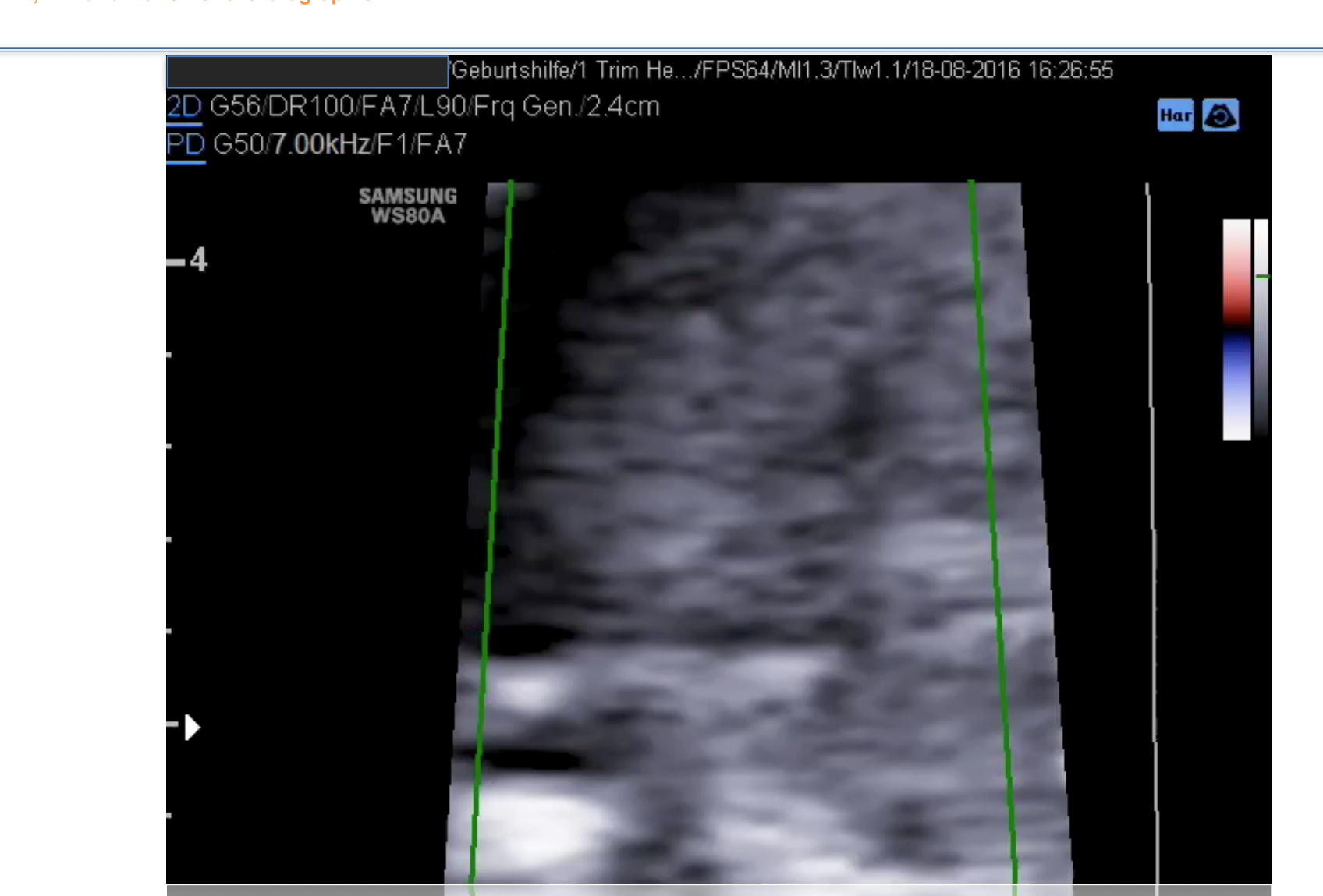
















Untersuchungsbedingungen ausre		✓				
	Wochen + 2 Tage	4	_			
sonographischer Termin 28.02	.2017 (nach Regelanamnese) ET	rechnerisch 28.02.2017				
Anamnese Ultraschall Sono	anatomie Biochemie Mittlerer arte	erieller Blutdruck Risikobe	rechnung			
Fetus 1 Neuer Fetus						
Befund	_					
Herzaktionen	dargestellt ▼		1 1	1		18-1-1-1
SSL 0	64,6 mm	Anamnese Ultraschal	Sonoanatomie	Biochemie Mittl	erer arterieller Blutdruck	Risikoberechnung
NT ()	3,50 mm	FMF Untersucher ①	Thomas von Ostro	wski 🔻 F	MF Untersuchercode ①	68381
BPD	19,5 mm	☑ Die Patientin wurde	informiert und gab ibi	re Finwilliauna		
AU	66,5 mm	E Die Fauenan warde	intorniert und gab iiii	ic Entrinigung		
TAD	mm	Berechnen				
Intrakranielle Transparenz	vorhanden ▼					
Ductus venosus PI ①		FMF Untersucher:	homas von Ostrov	vski, FMF Id: 68	381	
Nasenbein ()	_	Erkrankung	Hintergrundris	siko	Adjustiertes Risiko	
Trikuspidalklappen Doppler ()	auffällig (Insuffizienz)	Trisomie 21	1: 58		>1: 4	
A. uterina PI links	1,680 rechts 1,560 Mit	Trisomie 18	1: 143		1: 18	
Zervixlänge ①	mm	Trisomie 13	1: 448		1: 29	
größere Defekte 🕦		at total a little	e- 1 - 1 - 1			va e e e e e e e e e e e e e e e e e e e
größere Defekte					ternalem Alter (41 Jahre der Basis des Hintergri	e). Das adjustierte Risiko ist undrisikos und der
Zervixlange ()	ww	Ultraschallparamete	The state of the s	N 10 1 1 1 1 1 1 1 1 1 1 1 1 1 1 1 1 1 1		
A. uterina PI links Zepivlänge (f)	1,680 rechts 1,560 Mit	Dan alimpiana Biri			10 de- EME (((i 0 o)	\
Trikuspidalklappen Doppler 1)	autraing (insuffizienz)	Das dajastici ce rasii) berechnet und basiert auf gen (UK Registered charity
		1037116). Die Risiko	berechnung ist nur	dann verlässlich	, wenn die Ultraschallur	ntersuchung von einem durch
					durchgeführt wurde, de	12 (12 (12 (12 (12 (12 (12 (12 (12 (12 (
		erroigreich einem re	geimabigen Audit ur	nterzogen nat (si	ehe auch www.fetalme	aicine.org).





	ung 🗹 Ergebnis
Karyotyp	
Probe	Fruchtwasser ▼ Probennummer
Schnellte	auffällige PCR ▼ Es liegt mit großer Wahrscheinlichkeit eine r ▼
Karyotyp	auffällig ▼
Geschled	nt 🔻
☐ Micro	array
Chromos	
Kleihaue	%
Mosaik	%
Kulturda	er Tage
1440000000000	Geschlechtsmitteilung erwünscht
Anmerku	A section of the sect





